

Note sur le lieu discriminant d'une hypersurface de bi-degré (m, n) .

Susumu TANABÉ

En hommage à Valentin Poénaru

Résumé

Nous présentons une méthode topologique pour l'étude du lieu discriminant d'une variété algébrique définie dans un produit d'espaces projectifs. Notre approche se distingue par l'utilisation efficace du groupoïde dans la description de la monodromie. Comme exemple, nous traitons ici le lieu discriminant d'une hypersurface de bi-degré (m, n) .

1 Groupoïde à la recherche de la monodromie

Dans ce chapitre, nous présentons une méthode topologique pour l'étude du lieu discriminant d'une variété algébrique. Vu la propriété remarquable du lieu discriminant d'une variété définie dans un produit d'espaces projectifs, mentionnée dans la remarque 2.2 ci-dessous, nous espérons que notre approche pourra contribuer à l'éclaircissement de certaines propriétés géométriques et analytiques cachées au fond du phénomène de monodromie. En tant qu'objectif d'importance actuelle et pourtant réalisable, nous pouvons mentionner l'application à la symétrie miroir homologique [9, corollary 3.5, theorem 3.6], [18]. Dans le but de simplifier l'exposition, on se restreint ici au cas d'une hypersurface de bi-degré (m, n) [12], surtout au cas $n = 2$.

Nous espérons que les exemples que nous présentons dans ce chapitre et dans les autres articles en préparation ([19], [20], [12]), illustrent la thèse promue par A. Grothendieck [7] sur l'avantage des groupoïdes dans l'étude du groupe fondamental du complément du lieu discriminant.

Même pour $g = 0$ (donc quand les groupes de Teichmüller correspondants sont des groupes de tresses "bien connus"), les générateurs et relations connus à ce jour dont j'ai eu connaissance, me semblent inutilisables tels quels, car ils ne présentent pas les caractères d'invariance et de symétrie indispensables pour que l'action de $\Gamma = \mathbf{Gal}(\bar{\mathbf{Q}}/\mathbf{Q})$ soit directement lisible sur cette présentation. Ceci est lié notamment au fait que les gens s'obstinent encore, en calculant avec des groupes fondamentaux, à fixer un seul point base, plutôt que d'en choisir astucieusement tout un paquet qui soit invariant par les symétries de la situation. Dans certaines situations (comme des théorèmes de descente à la Van Kampen pour groupes fondamentaux) il est bien plus élégant, voir indispensable pour y comprendre quelque chose, de travailler avec des groupoïdes fondamentaux par rapport à un paquet de points base convenable, et il en est certainement ainsi pour la tour de Teichmüller.

AMS Subject Classification : 20F36 (primary), 14D05, 32S40 (secondary). Key words and phrases : discriminantal loci, braid monodromy, groupoid. Partiellement soutenu par Max Planck Institut für Mathematik, Research fund of the Galatasaray University project number 1123 "Analysis and topology of algebraic functions and period integrals."

On trouve la description de la même thèse exprimée d'une manière légèrement modifiée dans [3, 3. Application of fundamental groupoid].

Notamment, dans [19] nous proposons la recherche de la monodromie globale des intégrales de périodes associées à une hypersurface (ou une intersection complète) affine (variété Calabi–Yau) en se servant de leur prolongement analytique le long de chemins qui évitent les lieux discriminants. On peut, donc, interpréter notre essai comme une sorte de continuation dans l'esprit de la thèse ci-dessus où le centre d'attention se déplace vers la monodromie de la variété algébrique affine du groupe de Galois absolu $\Gamma = \mathbf{Gal}(\bar{\mathbf{Q}}/\mathbf{Q})$.

Notre programme proposé dans [19] a été réalisé pour la courbe de bi-degré $(2, 2)$ définie dans $\mathbb{P}^1 \times \mathbb{P}^1$ [18].

Une analyse de la connexion à singularités régulières et irrégulières [15] mérite une mention spéciale. Cet exemple illustre éloquemment la mise en valeur de la thèse ci-dessus dans le cadre de la recherche globale des équations différentielles.

Il faut signaler que le contenu du chapitre actuel sert d'étape préliminaire pour la réalisation d'un projet préparé avec le concours de Michael Lönne [12]. L'auteur remercie Mutlu Koçar de l'assistance à la préparation des figures et Athanase Papadopoulos de la lecture soignée du texte.

2 Lieu discriminant d'une hypersurface de bi-degré (m, n)

Cette section est consacrée à l'analyse de l'espace des modules d'une hypersurface Y qui est la variété de symétrie miroir d'une variété Calabi–Yau de bi-degré (m, n) générique dans $\mathbb{P}^{m-1} \times \mathbb{P}^{n-1}$, au sens de V.V. Batyrev [1], [4, 4.1]. D'après Batyrev, le polyèdre de Newton $\Delta(Q)$ du polynôme de Laurent qui définit la partie affine de Y

$$Q(z, w) = \frac{P(z, w)}{z_1 \dots z_{m-1} w_1 \dots w_{n-1}}$$

est le dual polaire (polar dual) de l'enveloppe convexe d'un produit de deux simplexes cano- niques de dimensions $m - 1$ et $n - 1$.

En vertu de l'action des tores algébriques sur les variables $(z_1, \dots, z_{m-1}, w_1, \dots, w_{n-1})$, le polynôme de Laurent $Q(z, w)$ à coefficients généraux se transforme en

$$F_{m,n}(z, w) =$$

$$1 + z_1 + z_2 + \dots + z_{m-1} + \frac{x}{z_1 \dots z_{m-1}} + w_1 + \dots + w_{n-1} + \frac{y}{w_1 \dots w_{n-1}} \quad (2.1)$$

qui dépend de deux paramètres (x, y) de déformation.

Le lieu discriminant S de la variété affine

$$X_{x,y}^{(m,n)} = \{(z, w) \in (\mathbb{C}^*)^{m+n-2}; F_{m,n}(z, w) = 0\} \quad (2.2)$$

se présente comme la réunion d'une courbe

$$C = \{(x, y); D(x, y) = 0\} \quad (2.3)$$

et des deux axes de coordonnées,

$$S = \{(x, y) \in \mathbb{C}^2; xyD(x, y) = 0\}. \quad (2.4)$$

D'après la définition du lieu discriminant, la variété affine $X_{x,y}^{(m,n)}$ (2.2) est singulière si et seulement si $(x, y) \in S$.

La courbe C (2.3) admet l'uniformisation de Horn–Kapranov [17] comme suit

$$(x, y) = \left(\left(\frac{s}{ms+n} \right)^m, \left(\frac{1}{ms+n} \right)^n \right), \quad s \in \mathbb{C} \quad (2.5)$$

de telle sorte que

$$D\left(\left(\frac{s}{ms+n}\right)^m, \left(\frac{1}{ms+n}\right)^n\right) = 0, \quad \forall s \in \mathbb{C}.$$

La dérivation de l'uniformisation (2.5) est basée sur le calcul du lieu singulier des intégrales de périodes de la variété (2.2). Il est connu [2] que l'intégrale de périodes

$$f(x, y) = \int_{\gamma} \frac{dz \wedge dw}{dF_{m,n}(z, w)},$$

pour le cycle quelconque $\gamma \in H_{m+n-3}(X_{x,y}^{(m,n)})$ satisfait au système des équations hypergéométriques du type de Horn ci-dessous,

$$\begin{aligned} (\theta_x^m - x(m\theta_x + n\theta_y + 1) \cdots (m\theta_x + n\theta_y + m)) f(x, y) &= 0, \\ (\theta_y^n - y(m\theta_x + n\theta_y + 1) \cdots (m\theta_x + n\theta_y + n)) f(x, y) &= 0, \end{aligned} \quad (2.6)$$

pour $m \geq n \geq 2$,

$$\theta_x = x \frac{\partial}{\partial x}, \quad \theta_y = y \frac{\partial}{\partial y}.$$

La dimension de l'espace vectoriel complexe des solutions (2.6), nommée rang holonomique, est égale à $mn = |\chi(X_{x,y}^{(m,n)})|$. Une base explicite de l'espace des solutions de (2.6) peut être donnée par les intégrales de Mellin–Barnes,

$$f_{i,j}^k(x, y) = \int_{\Delta} \frac{\Gamma(s)^{m-i} \Gamma(t)^{n-j} \Gamma(1 - (ms + nt))}{\Gamma(1-s)^i \Gamma(1-t)^j} x^{-s} y^{-t} e^{-\pi\sqrt{-1}(is+jt)} ds \wedge dt, \quad (2.7)$$

où $(i, j) \in [0; m-1] \times [0; n-1]$ et Δ est un semi-groupe formé des pôles de l'intégrand de (2.7),

$$\Delta = \{(s, t) \in \mathbb{C}^2; s \in \mathbb{Z}_{\leq 0}, t \in \mathbb{Z}_{\leq 0}\}.$$

Ainsi le lieu de ramification des solutions des équations différentielles (2.6) admet la représentation (2.5), [17].

Le groupe de monodromie globale des intégrales (2.7) s'obtient comme représentation de $\pi_1(\mathbb{C}^2 \setminus S)$. Le sujet de notre chapitre fait partie d'un programme de recherche sur ce groupe de monodromie globale.

A partir d'ici, on utilise la notation $\omega_m = e^{2\pi\sqrt{-1}/m}$, $\omega_n^j = e^{2\pi j\sqrt{-1}/n}$ ainsi que $e(\lambda) = e^{2\pi\sqrt{-1}\lambda}$, c.à.d. $\omega_m^i = e(i/m)$, $\omega_n^j = e(j/n)$. Nous utilisons aussi la notation $i \in [r_1; r_2] \Leftrightarrow i \in \{r_1, \dots, r_2\}$ pour deux entiers $r_1 \leq r_2$.

Afin d'étudier le groupe fondamental $\pi_1(\mathbb{C}^2 \setminus S)$, on commence par le lemme suivant.

Lemme 2.1. *a) La courbe $C = \{(x, y); D(x, y) = 0\}$ est irréductible. b) La courbe C est nodale c.à.d. qu'elle possède seulement des points singuliers où les deux branches se croisent transversalement. c) $\pi_1(\mathbb{C}^2 \setminus C) \cong \mathbb{Z}$.*

Démonstration. a) Grâce à (2.5) la branche $(x, y_j(x))$, $j = 1, \dots, m$ de la courbe C admet le développement de Puiseux suivant,

$$y_j(x) = \left(\frac{1 - m\omega_m^j x^{1/m}}{n} \right)^n.$$

Puisque chaque branche $y_j(x)$ appartient à la même classe de conjugaison, et puisque l'irréductibilité d'une courbe est équivalente à l'unicité de la classe de conjugaison des branches, on a l'énoncé.

b) Il suffit de démontrer que la courbe ayant la présentation paramétrique $C' = \{(x, y); x = (1-t)^n, y = t^m\}$ ne possède que des points singuliers doubles. Considérons les polynômes $P_{k,\ell}(t) = (1 - \omega_n^k t)^m - (1 - \omega_n^\ell t)^m$ pour $0 \leq k \neq \ell \leq n-1$.

Nous avons besoin de démontrer que (1) $P_{0,\ell}(t) = 0$, $\ell \neq 0$ ne possède aucune racine multiple. (2) Le système d'équations $P_{0,\ell}(t) = P_{k,\ell}(t) = 0$ n'admet aucune solution non nulle pour $0 < k \neq \ell \leq m-1$.

Pour que l'équation $P_{0,\ell}(t) = 0$ admette une racine double, l'existence d'une solution du système suivant est nécessaire : $P_{0,\ell}(t) = P'_{0,\ell}(t) = 0$. Si t_0 est une solution du système, alors elle doit satisfaire $\omega_n^\ell P_{0,\ell}(t_0) + (1 - \omega_n^\ell t_0) P'_{0,\ell}(t_0) / m = 0$, c. à. d. $(1 - t_0)^{m-1} (\omega_n^\ell - 1) = 0$. Puisque $P_{0,\ell}(1) = -(1 - \omega_n^\ell)^m \neq 0$, nous avons (1).

Les racines non nulles de $P_{0,\ell}(t) = 0$ sont de la forme $\{\frac{1-\omega_m^i}{1-\omega_m^i \omega_n^\ell}\}$, $1 \leq i \leq m-1$, $(\frac{\ell}{n} + \frac{i}{m}) \not\equiv 0 \pmod{1}$, pourtant celles de $P_{k,\ell}(t) = 0$ sont $\{\frac{1-\omega_m^j}{\omega_n^k - \omega_m^j \omega_n^\ell}\}$, $1 \leq j \leq m-1$, $(\frac{-k+\ell}{n} + \frac{j}{m}) \not\equiv 0 \pmod{1}$. On rappelle ici que $t = 0$ correspond à un point $(m-1)$ -flexe de la courbe C' . L'argument $Arg\left(\frac{1-\omega_m^j}{\omega_n^k - \omega_m^j \omega_n^\ell} / \frac{1-\omega_m^i}{1-\omega_m^i \omega_n^\ell}\right) = -\frac{k}{n}\pi$ ne devient jamais 0 ou 2π pour $1 \leq k \leq n-1$. Ceci montre (2).

c) D'après [14], la condition suivante (appelée "negativity condition at infinity" : abréviation NC) est suffisante pour qu'une courbe nodale C possède un groupe abélien $\pi_1(\mathbb{C}^2 \setminus C)$.

(NC) La restriction de la fonction algébrique $y(x)$ satisfaisant $D(x, y) = 0$ au voisinage de l'infini (l'axe réel exclu) consiste en n branches analytiques $y_j(x)$ de la forme $g_j(\tau(x))$ où $g_j(\tau)$ est une fonction méromorphe et univalente au voisinage du point $\tau = 0$ pour $\tau(x)$: une branche univalente de la fonction $x^{-1/n}$. On a $\lim_{\tau \rightarrow 0} (g_j(\tau) - g_k(\tau)) \neq 0$ pour $k \neq j$ c.à.d. qu'elle y possède soit un pôle, soit une limite finie.

Il s'ensuit de (2.5) et d'un changement linéaire de variables que la fonction $g_j(\tau) = (\frac{1}{n})^n (1 - \frac{m\omega_m^j}{\tau})^n$ satisfait NC.

Par le théorème de Hurewicz on a $\pi_1(\mathbb{C}^2 \setminus C)/Z = H_1(\mathbb{C}^2 \setminus C)$, mais la discussion ci-dessus montre que le commutateur Z s'annule. Il est bien connu que $H_1(\mathbb{C}^2 \setminus C) \cong \mathbb{Z}$ pour la courbe irréductible C . \square

Ainsi $\pi_1(\mathbb{C}^2 \setminus S)$ est engendré par trois générateurs $\gamma_1, \gamma_2, \gamma_C$ où γ_1 (resp. γ_2, γ_C) correspond au lacet qui fait un tour autour de la courbe $x = 0$ (resp. $y = 0, C$).

L'uniformisation (2.5) indique que le revêtement de degré mn du lieu discriminant (2.4) est homotope à l'arrangement complexe de $(mn+2)$ droites.

$$\mathcal{A}_{m,n} := \{(s, t) \in \mathbb{C}^2; st \prod_{0 \leq i \leq m-1, 0 \leq j \leq n-1} (\omega_m^i s + \omega_n^j t + 1) = 0\}. \quad (2.8)$$

La suite exacte suivante est une conséquence du théorème de Reidemeister–Schreier [22]

$$1 \rightarrow \pi_1(\mathbb{C}^2 \setminus \mathcal{A}_{m,n}) \rightarrow \pi_1(\mathbb{C}^2 \setminus S) \xrightarrow{h} (\mathbb{Z}/m\mathbb{Z}) \times (\mathbb{Z}/m) \rightarrow 1. \quad (2.9)$$

avec $h(\gamma_C) = h(\gamma_1^m) = h(\gamma_2^n) = 1$.

Remarque 2.2. En effet, c'est un exemple de phénomènes plus généraux qu'on observe sur le lieu discriminant d'une hypersurface Calabi–Yau $X_{\mathbf{n}}$ de multi-degré $\mathbf{n} = (n_i)_{i=1}^K$ définie dans le produit d'espaces projectifs $\prod_{i=1}^K \mathbb{P}^{n_i-1}$. Le calcul de [16, section 8] indique que le revêtement

de degré $\prod_{i=1}^K n_i$ du lieu discriminant d'une telle hypersurface admet la présentation comme arrangement d'hyperplans

$$\mathcal{A}_{\mathbf{n}} := \{(t_1, \dots, t_K) \in \mathbb{C}^K; \prod_{i=1}^K t_i \cdot \prod_{(j_1, \dots, j_K) \in \prod_{i=1}^K (\mathbb{Z}/n_i \mathbb{Z})} (\sum_{\ell=1}^K \omega_{n_\ell}^{j_\ell} t_\ell + 1) = 0\} \quad (2.10)$$

qui consiste de $K + \prod_{i=1}^K n_i$ hyperplans. La démonstration se fait à l'aide des formules données dans [17, theorem 2.6].

Pour le cas où $n_i = 2, \forall i \in [1; K]$, T. Terasoma [21] utilise le revêtement (2.10) afin d'obtenir une description complète du groupe fondamental de l'ensemble des hypersurfaces lisses de multi-degré $\mathbf{n} = (2, \dots, 2)$.

3 Lieu discriminant au cas $n = 2$.

3.1 Rotation des poinçons et tresse annulaire

Dans cette section, nous étudions le groupe fondamental $\pi_1(\mathbb{C}^2 \setminus \mathcal{A}_{m,2})$ au moyen de la monodromie de tresses pour $m \geq 2$.

Tout d'abord, on calcule les branches $s(t)$ de l'arrangement $\mathcal{A}_{m,2}$ (2.8) comme fonctions complexes linéaires de t . On met

$$T_{j,\ell}(t) = -\omega^j(1 + (-1)^\ell t), \quad (3.1)$$

pour $j \in [0; m-1], \ell \in [0; 1]$ et $\omega = \omega_m = e(1/m)$. Désormais nous considérons toujours les indices (j, ℓ) dans $\mathbb{Z}/m \times \mathbb{Z}/2$.

Nous suivons le changement de la section de $\mathcal{A}_{m,2}$ en fonction de la valeur $t \in \mathbb{C}$,

$$\mathbb{S}(t) := \{0\} \cup \bigcup_{[j,\ell] \in [0;m-1] \times [0;1]} \{T_{j,\ell}(t)\}. \quad (3.2)$$

Dorénavant nous nommons les éléments de $\mathbb{S}(t)$ **poinçons** (punctures), par contre, la valeur fixe de t sera nommée **point**.

On note

$$\mathbb{S}^*(t) := \mathbb{S}(t) \setminus \{0\}. \quad (3.3)$$

Remarque 3.1. La discussion dans la section 3.2 ci-dessus montre que l'on peut rencontrer une difficulté lors de la généralisation aux cas $n \geq 3$. En particulier, dans les cas $n \geq 5$ intervient le phénomène d'entrelacement (entanglement) des branches $s(t)$ de l'arrangement $\mathcal{A}_{m,n}$. Voir [11, 6.1 Parallel transport in the model family]. Si cette difficulté n'exige pas un changement drastique de notre vision de la topologie de l'arrangement $\mathcal{A}_{m,n}$, nous pourrions affirmer un énoncé similaire à la conjecture 3.9 formulée à la fin du chapitre.

Lemme 3.2. Les branches (3.1) se rencontrent aux points de coïncidence $\mathbb{D} \cup \{0\}$ avec

$$\mathbb{D} := \{\pm 1\} \cup \left\{ \mathbf{i} \tan \frac{j\pi}{m} \right\}_{j \in [0;m-1] \setminus \{\frac{m}{2}\}}, \quad (3.4)$$

ayant les types suivants. Dorénavant on utilise la notation

$$|\bar{\mathbf{j}}| = j_2 - j_1, \quad |\mathbf{j}| = j_1 + j_2, \quad (3.5)$$

pour $\mathbf{j} = (j_1, j_2)$.

(1) Les cas $|\bar{\ell}| = 0$. En $t = (-1)^{\ell+1}$, confluent les m racines suivantes :

$$T_{0,\ell}((-1)^{\ell+1}) = T_{1,\ell}((-1)^{\ell+1}) = \dots = T_{m-1,\ell}((-1)^{\ell+1}), \quad (3.6)$$

pour $\ell \in [0; 1]$.

(2) Les cas $|\bar{\ell}| = 1$. En $t = \mathbf{i} \tan \frac{|\bar{\mathbf{j}}|\pi}{m}$ confluent les 2 racines qui forment au total m -paires distinctes :

$$T_{j_1,0}(\mathbf{i} \tan \frac{|\bar{\mathbf{j}}|\pi}{m}) = T_{j_2,1}(\mathbf{i} \tan \frac{|\bar{\mathbf{j}}|\pi}{m}) = -e(\frac{|\mathbf{j}|}{2m})(\cos \frac{|\bar{\mathbf{j}}|\pi}{m})^{-1}, \quad (3.7)$$

si $|\frac{|\bar{\mathbf{j}}|}{m}| \neq \frac{1}{2}$.

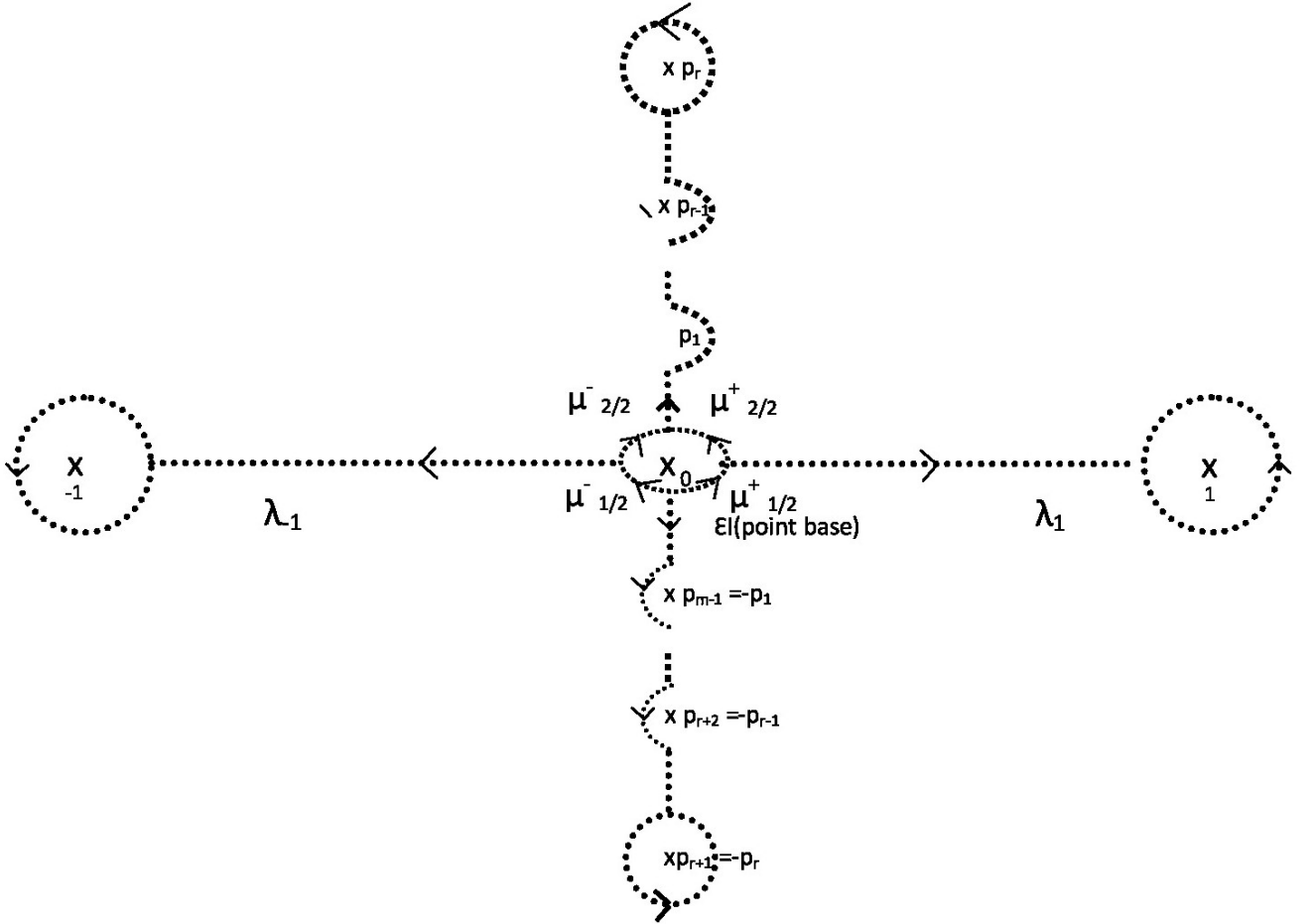


FIGURE 1 – Figure de \mathbb{D} avec des chemins issus du point base $t = -\mathbf{e}\mathbf{i}$.

On appelle $p_k \in \mathbb{D}$ point de coïncidence sur l'axe imaginaire pur,

$$p_k = \mathbf{i} \tan \frac{k\pi}{m}, \quad (3.8)$$

pour $k \in [0; m-1] \setminus \{\frac{m}{2}\}$. Il s'ensuit que

$$\tan \frac{k\pi}{m} > 0 \text{ si } k \in [1; r], \quad \tan \frac{k\pi}{m} < 0 \text{ si } k \in [r+1; m-1], \quad (3.9)$$

pour $r = \lfloor \frac{m-1}{2} \rfloor$, la partie entière de $\frac{m-1}{2}$.

Pour suivre le changement de la position des poinçons (3.2), nous fixons le point de départ du mouvement de t sur $\mathbb{C}^* \setminus \mathbb{D}$. Par la symétrie de la figure de \mathbb{D} , nous choisissons $t = -\epsilon i$ comme point base de départ pour $\epsilon > 0$ assez petit.

Au point base $t = -\epsilon i$, la fibre de référence $\mathbb{S}(-\epsilon i)$ consiste en $2m$ poinçons situés sur un cercle de centre 0.

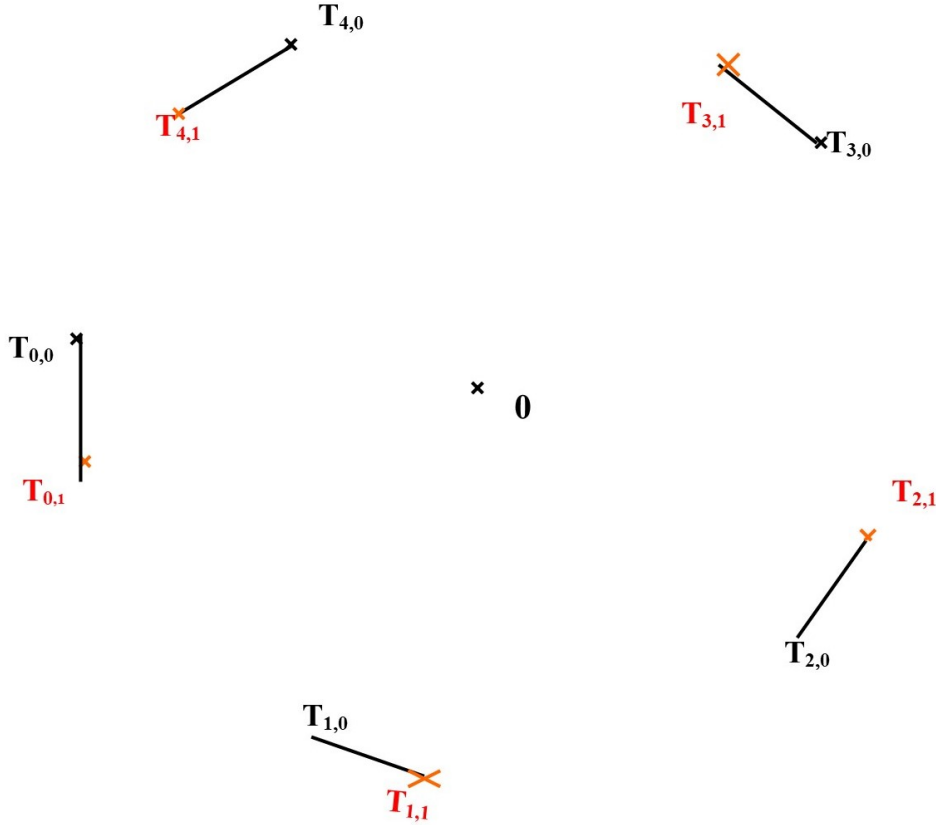


FIGURE 2 – Figure de $\mathbb{S}(-\epsilon i)$ pour $m = 5$.

Afin de décrire d'une manière efficace le mouvement de $\mathbb{S}(t)$ le long d'une courbe issue de $t = -\epsilon i$, nous nous rappelons la notion de **rotation des poinçons** (rotating punctures) [13, Definition 1.4].

Définition 3.3. *Pour un ensemble d'indices $\mathbb{J}_\mu = \{(j_k, \ell_k)\}_{k=1}^\mu \subset [0, m-1] \times [0; 1]$ et $t \in \mathbb{C} \setminus \mathbb{D}$, on considère le polygone $P_{\mathbb{J}_\mu}$ construit comme enveloppe convexe de μ poinçons $A_{\mathbb{J}_\mu} := \{T_{j,\ell}(t)\}_{(j,\ell) \in \mathbb{J}_\mu}$. Supposons que les poinçons $\{T_{j_k, \ell_k}(t)\}_{k=1}^\mu$ sont rangés selon le sens de l'orientation positive du bord $\partial P_{\mathbb{J}_\mu}$. Autrement dit, $\exists x \in (P_{\mathbb{J}_\mu})^{int}$ t.q.*

$$\text{Arg}(T_{j_k, \ell_k}(t) - x) < \text{Arg}(T_{j_{k+1}, \ell_{k+1}}(t) - x)$$

$\forall (j_k, \ell_k) \in \mathbb{J}_\mu$ où $\mu + 1 \equiv 1$.

On définit la rotation $R_{A_{\mathbb{J}_\mu}}$ de l'ensemble des racines $A_{\mathbb{J}_\mu}$ comme le mouvement des racines ci-dessous,

$$R_{A_{\mathbb{J}_\mu}}(T_{j_k, \ell_k}(t)) = T_{j_{k+1}, \ell_{k+1}}(t). \quad (3.10)$$

La puissance de la rotation découle immédiatement de (3.10),

$$R_{A_{\mathbb{J}_\mu}}^p (T_{j_k, \ell_k}(t)) = T_{j_{\overline{k+p}}, \ell_{\overline{k+p}}}(t), \quad (3.11)$$

où $\overline{k+p} \in [1; \mu]$ et $k+p \equiv \overline{k+p} \pmod{\mu}$.

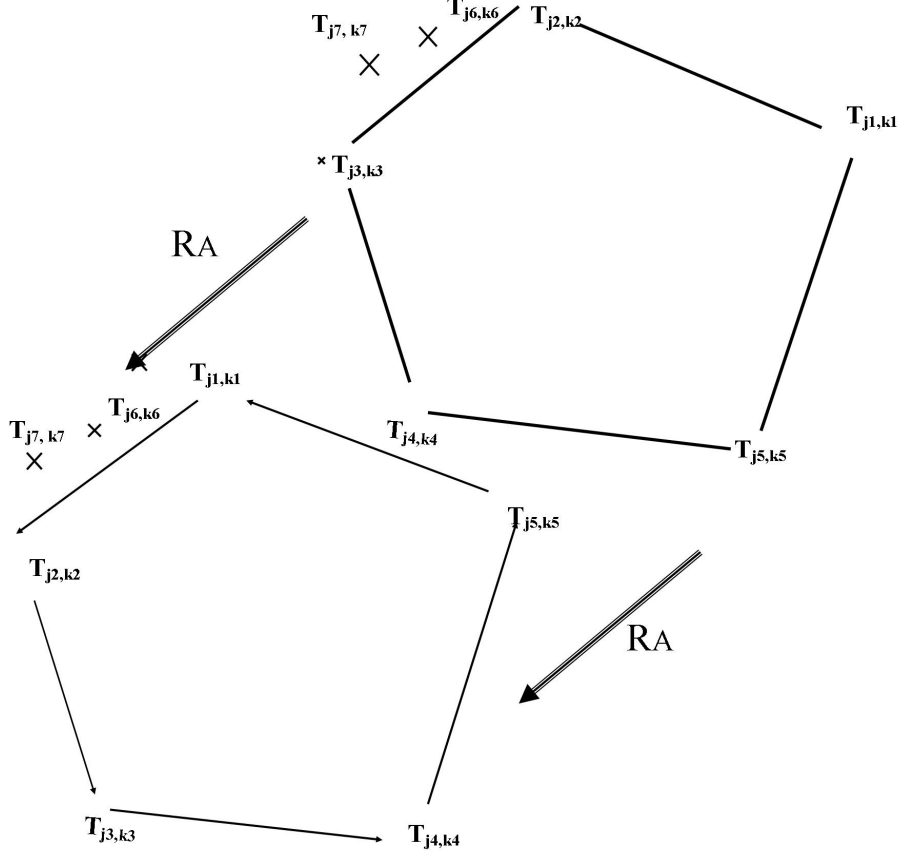


FIGURE 3 – Figure de $R_{A_{\mathbb{J}_\mu}}$ avec $\mu = 5$, $A = A_{\mathbb{J}_5} = \{T_{j_\ell, k_\ell}\}_{\ell=1}^5$.

Remarque 3.4. Si le mouvement de t le long d'une courbe $\lambda(u) \subset \mathbb{C}^* \setminus \mathbb{D}$, $u \in [0, 1]$ t.q. $\lambda(0) = -\epsilon i$, provoque une rotation $R_{A_{\mathbb{J}}}$, alors nous obtenons une tresse à $(2m+1)$ brins dans $\mathbb{C} \times [0, 1]$ tracés par les racines $\mathfrak{s}(\lambda(u))$, $u \in [0, 1]$. Puisque $\{0\} \in \mathfrak{s}(t)$, $\forall t \in \mathbb{C}$, la tresse en question doit être considérée comme **tresse annulaire (annular braid)**, notée CB_{2m} (cylindrical braids), au sens de [10]. C'est une tresse à $2m$ brins correspondant aux $2m$ poinçons non-nuls qui font le tour du segment $\{0\} \times [0, 1] \subset \mathbb{C} \times [0, 1]$. Voir figure 5.

Puisque chaque racine de $\mathfrak{s}(t)$ est une fonction linéaire de la variable complexe t , il est légitime d'étendre la notion de rotation à celle de rotation fractionnaire.

Définition 3.5. Soit $R_{A_{\mathbb{J}}}$ la rotation définie dans la définition 3.3. Pour $\nu = p/q \in [0, 1] \cap \mathbb{Q}$, on définit $R_{A_{\mathbb{J}}}^\nu$ comme mouvement des racines qui satisfait $(R_{A_{\mathbb{J}}}^\nu)^q = R_{A_{\mathbb{J}}}^p$ de telle sorte que

$$\text{Arg} \left(\frac{R_{A_{\mathbb{J}}}^\nu(T_{j_k, \ell_k}(t)) - x}{T_{j_k, \ell_k}(t) - x} \right) = \nu \text{Arg} \left(\frac{T_{j_{k+1}, \ell_{k+1}}(t) - x}{T_{j_k, \ell_k}(t) - x} \right),$$

$\exists x \in (P_{\mathbb{J}_\mu})^{\text{int}}$, $\forall k \in \mathbb{Z}/|\mathbb{J}|\mathbb{Z}$. Cette définition peut être étendue aux cas de ν rationnel quelconque si on se sert de la convention $(R_{A_{\mathbb{J}}})^\nu = (R_{A_{\mathbb{J}}})^{[\nu]} \cdot (R_{A_{\mathbb{J}}})^\kappa$ pour $\kappa = \nu - [\nu]$.

Dans le chapitre présent, nous ne regardons que des cas avec $\nu = \pm\frac{1}{2}$, tandis que dans [20] nous traitons des cas de rotation à puissance rationnelle quelconque des fonctions algébriques.

3.2 Monodromie des tresses induite par des chemins-groupeïdes

Soit la courbe continue $\lambda_{P_i, P_{i+1}}$ sur $\mathbb{C}^* \setminus \mathbb{D}$ issue d'un point P_i qui atteint le point P_{i+1} . Il est facile de voir que par la composition

$$\lambda_{P_i, P_{i+2}} = \lambda_{P_i, P_{i+1}} \cdot \lambda_{P_{i+1}, P_{i+2}}, \quad (3.12)$$

ces courbes définissent un groupeïde $\pi_1(\mathbb{C}^* \setminus \mathbb{D}, B)$ [3, Example 3, Example 5]. Si l'on admet l'ensemble de points base B comme l'espace entier $\mathbb{C}^* \setminus \mathbb{D}$, alors on obtient le groupeïde fondamental où le chemin joignant deux points est un élément de la classe d'homotopie.

On appelle ρ l'homomorphisme du groupeïde des chemins à celui des transformations monodromiques agissant sur $\mathbb{S}^*(\bullet)$. Pour un chemin λ joignant t_1 à t_2 de $\mathbb{C}^* \setminus \mathbb{D}$, on trouve un difféomorphisme $\rho(\lambda)(\mathbb{S}^*(t_1)) = \mathbb{S}^*(t_2)$, de telle sorte que l'on ait

$$\rho : \text{chemin } \lambda \mapsto \text{difféomorphisme } \rho(\lambda). \quad (3.13)$$

Par construction, la famille de difféomorphismes $\rho(\bullet)$ induits par les chemins donne naissance à un groupeïde de transformations monodromiques agissant sur les fibres $\mathbb{S}^*(\bullet)$ qui correspond à la composition des chemins (3.12),

$$\rho(\lambda_{P_i, P_{i+2}}) = \rho(\lambda_{P_i, P_{i+1}}) \cdot \rho(\lambda_{P_{i+1}, P_{i+2}}).$$

Une telle famille continue de difféomorphismes induite par le chemin λ a été utilisée pour décrire la transformation de Picard–Lefschetz du cycle évanescant provoquée par un twist de Dehn [8, 1.1].

L'homomorphisme (3.13) est défini à isotopie près. Plus précisément, si les deux chemins continus sur $\mathbb{C}^* \setminus \mathbb{D}$,

$$s \in [0, 1] \longrightarrow \lambda_\ell = \{t_\ell(s)\}, \quad \ell = 1, 2, \quad (3.14)$$

sont homotopes, alors chacune des $2m$ courbes traces $\mathbb{S}^*(\lambda_1) = \bigcup_{s \in [0, 1]} \mathbb{S}^*(t_1(s))$ est isotope à l'une des courbes traces $\mathbb{S}^*(\lambda_2) = \bigcup_{s \in [0, 1]} \mathbb{S}^*(t_2(s))$. Dans ce cas, on dit que $\rho(\lambda_1)$ est isotope à $\rho(\lambda_2)$.

Remarque 3.6. Il est bien connu que l'on peut identifier le difféomorphisme ρ agissant sur $\mathbb{S}^*(t)$, $t \notin \mathbb{D}$, avec un élément du groupe de tresses annulaires CB_{2m} (remarque 3.4). L'unique différence avec le cas classique [5, corollaire 2.8], concernant le difféomorphisme d'un disque privé de $(2m + 1)$ points, consiste dans l'immobilité de l'origine dans notre cas.

Maintenant nous passons à la description concrète de la transformation monodromique (3.13) en fonction du chemin sous-jacent.

Pour faciliter la formulation des résultats, nous introduisons les réunions des racines en groupes comme suit, qui sont situées dans \mathbb{C}^* .

$$A_{j,j}^{(0,1)}(t) = \{T_{j,0}(t), T_{j,1}(t)\}, \quad j \in [0; m-1], \quad (3.15)$$

$$A_{[0; m-1]}^{(1)} = \{T_{j,1}\}_{j=0}^{m-1}, \quad \text{resp.} \quad A_{[0; m-1]}^{(0)} = \{T_{j,0}\}_{j=0}^{m-1}. \quad (3.16)$$

Ici les poinçons sont rangés de telle manière que $\text{Arg}(T_{j,\delta}) < \text{Arg}(T_{j+1,\delta})$, $(j, \delta) \in [0; m-1] \times [0; 1]$. Pour chaque $\delta \in [0; 1]$ fixe, l'enveloppe convexe de $A_{[0; m-1]}^{(\delta)}$ contient l'origine. Voir figure 5.

Pour chaque $j \in [0; m - 1]$, on regarde le couple comme suit,

$$A_{j,j+h}^{(0,1)} = \{T_{j,0}, T_{j+h,1}\}, \quad h \in [0; m - 1]. \quad (3.17)$$

Ici on utilise la convention $j + h \in \mathbb{Z}/m\mathbb{Z}$. En particulier, on a

$$A_{j,j-k}^{(0,1)} = \{T_{j,0}, T_{m+j-k,1}\}, \quad k \in [1; m - r - 1]. \quad (3.18)$$

L'origine demeure en dehors de l'enveloppe convexe des poinçons $A_{j,j-k}^{(0,1)}$ pour chaque (j, k) fixe.

On introduit aussi la rotation suivante,

$$R_{A_{[\ell]}^{(0,1)}} = \prod_{j=0}^{m-1} R_{A_{j,j+\ell}^{(0,1)}}, \quad (3.19)$$

comme la tresse annulaire (remarque 3.4) pour $\ell \in [0; r]$. La composition de (3.19), $\ell \in [0; k - 1]$, produit une concaténation des rotations

$$R_{A_{[\delta;k-1]}^{(0,1)}} := R_{A_{[\delta]}^{(0,1)}} \cdots R_{A_{[+(k-1)]}^{(0,1)}}, \quad (3.20)$$

pour $\delta \in [0; 1]$.

D'une manière similaire, on introduit

$$R_{A_{[-\ell]}^{(0,1)}} := \prod_{j=0}^{m-1} R_{A_{j,j-\ell}^{(0,1)}}, \quad (3.21)$$

pour $\ell \in [1, m - r - 1]$.

La composition des rotations (3.21), $\ell \in [1, k - 1]$, entraîne la concaténation,

$$R_{A_{[-1;k-1]}^{(0,1)}} := R_{A_{[-1]}^{(0,1)}} \cdots R_{A_{[-(k-1)]}^{(0,1)}}. \quad (3.22)$$

Dans notre théorème ci-dessous, qui est l'énoncé central de ce chapitre, nous utilisons l'isomorphisme entre le groupe de difféomorphisme $S^*(-\epsilon i)$ et le groupe de tresses annulaires CB_{2m} mentionné dans la remarque 3.6.

Théorème 3.7. *La liste suivante contient tous les générateurs du groupe de transformations monodromiques (3.13) pour l'arrangement $\mathcal{A}_{m,2}$.*

(A) *La monodromie autour de l'origine*

$$\rho(\mu_{1/2}^+ \cdot \mu_{2/2}^+ \cdot (\mu_{2/2}^-)^{-1} \cdot (\mu_{1/2}^-)^{-1}) = (R_{A_{[0]}^{(0,1)}})^2. \quad (3.23)$$

(B) *La monodromie autour des points $t = \eta$,*

$$\rho(\mu_{1/2}^\eta \cdot \lambda_\eta \cdot (\mu_{1/2}^\eta)^{-1}) = (R_{A_{[0;m-1]}^{(\frac{\eta+1}{2})}})^m, \quad (3.24)$$

$\eta = \pm 1$.

(C) *La monodromie autour du point $t = p_{m-k}$, $k \in [1; m - r - 1]$,*

$$(R_{A_{[-k]}^{(0,1)}})^2, \quad (3.25)$$

et celle autour du point $t = p_k$, $k \in [1; r]$, (3.8),

$$(R_{A_{[+k]}^{(0,1)}})^2. \quad (3.26)$$

Démonstration. **(A)** Lorsque t se déplace sur l'arc $\mu_{1/2}^-$ joignant $-\epsilon i$ à $-\epsilon$ (voir figure 1) chacun des m couples de racines (3.15) achève un tour de $-\pi/2$ par rapport au point $-\omega^j$ qui peut être représenté comme

$$\rho(\mu_{1/2}^-) = (R_{A_{[0]}^{(0,1)}})^{-1/2}, \quad (3.27)$$

grâce à la commutativité des rotations $R_{A_j^{(0,1)}}$, $j \in [0; m-1]$.

D'une manière similaire, on a,

$$\rho(\mu_{1/2}^- \vec{\mu}_{2/2}^-) = (R_{A_{[0]}^{(0,1)}})^{-1}. \quad (3.28)$$

La composition des chemins s'effectue de gauche à droite.

$$\mu_{1/2}^- \vec{\mu}_{2/2}^- = \{-ie^{-i\pi u}; u \in [0, \frac{2}{2}]\}. \quad (3.29)$$

D'une manière analogue, on a

$$\rho(\mu_{\ell/2}^+) = (R_{A_{[0]}^{(0,1)}})^{1/2}, \quad (3.30)$$

pour

$$\mu_{\ell/2}^+ = \{-ie^{i\pi u}; u \in [\frac{\ell-1}{2}, \frac{\ell}{2}]\}, \quad \ell = 1, 2.$$

Ici on remarque que le tour complet $\{-ie(u); u \in [0, 1]\}$ provoque la monodromie de tresses

$$(R_{A_{[0]}^{(0,1)}})^2.$$

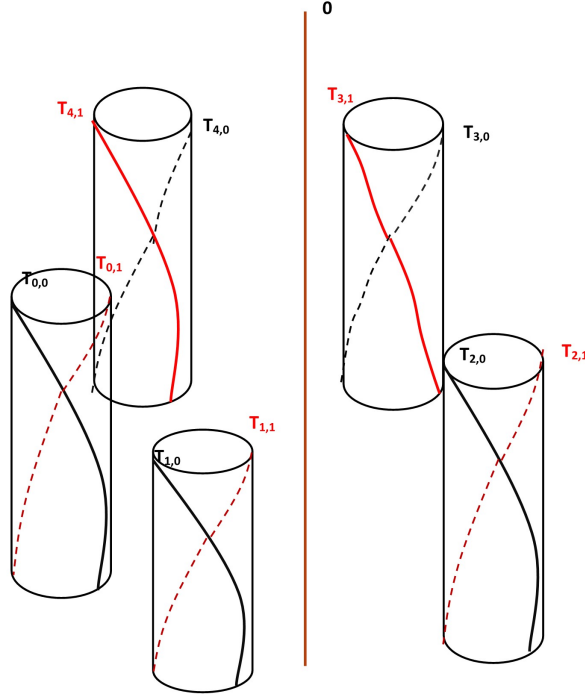


FIGURE 4 – Rotation $\rho(\mu_{1/2}^+ \vec{\mu}_{2/2}^+) = \prod_{j=0}^{m-1} R_{A_{j,j}^{(0,1)}}$, $m = 5$.

(B) Maintenant, nous examinons la monodromie de tresses induite par le mouvement sur le chemin λ_1 : d'abord t varie sur $[\epsilon, 1 - \epsilon]$, ensuite il fait un tour positif autour $t = 1$ le long du cercle $\{1 - \epsilon e(u); u \in [0, 1]\}$ et, finalement, il revient à ϵ en suivant le segment $[1 - \epsilon, \epsilon]$.

En vertu du lemme 3.2 (1), le mouvement le long de λ_1 (resp. λ_{-1}) provoque la rotation

$$\rho(\lambda_1) = (R_{A_{[0;m-1]}^{(1)}})^m, \quad \text{resp. } \rho(\lambda_{-1}) = (R_{A_{[0;m-1]}^{(0)}})^m \quad (3.31)$$

pour (3.16).

De même, le mouvement le long du lacet $\mu_{1/2}^+ \cdot \lambda_1 \cdot (\mu_{1/2}^+)^{-1}$ provoque la monodromie de tresses

$$\rho(\mu_{1/2}^+ \cdot \lambda_1 \cdot (\mu_{1/2}^+)^{-1}) = (R_{A_{[0]}^{(0,1)}})^{1/2} (R_{A_{[0;m-1]}^{(1)}})^m (R_{A_{[0]}^{(0,1)}})^{-1/2}, \quad (3.32)$$

en vertu de (3.30), (3.31). D'une manière similaire, on a

$$\rho(\mu_{1/2}^- \cdot \lambda_{-1} \cdot (\mu_{1/2}^-)^{-1}) = (R_{A_{[0]}^{(0,1)}})^{-1/2} (R_{A_{[0;m-1]}^{(0)}})^m (R_{A_{[0]}^{(0,1)}})^{1/2}. \quad (3.33)$$

On voit facilement que les rotations $(R_{A_{[0]}^{(0,1)}})^{\pm \frac{1}{2}}$, et $R_{A_{[0;m-1]}^{(0)}}$ commutent. Pour le voir, nous considérons le tuyau B_j de diamètre assez petit qui contient $A_{j,j}^{(0,1)}$ (3.15) et nous notons

$$B_{[0;m-1]} = \cup_{j=0}^{m-1} B_j. \quad (3.34)$$

La rotation $R_{B_{[0;m-1]}}$ est isotope à la rotation $R_{A_{[0;m-1]}^{(0)}}$. Puisque la rotation $R_{A_{j,j}^{(0,1)}}$ a lieu à l'intérieur du tuyau B_j , elle commute avec $R_{A_{[0;m-1]}^{(0)}}$.

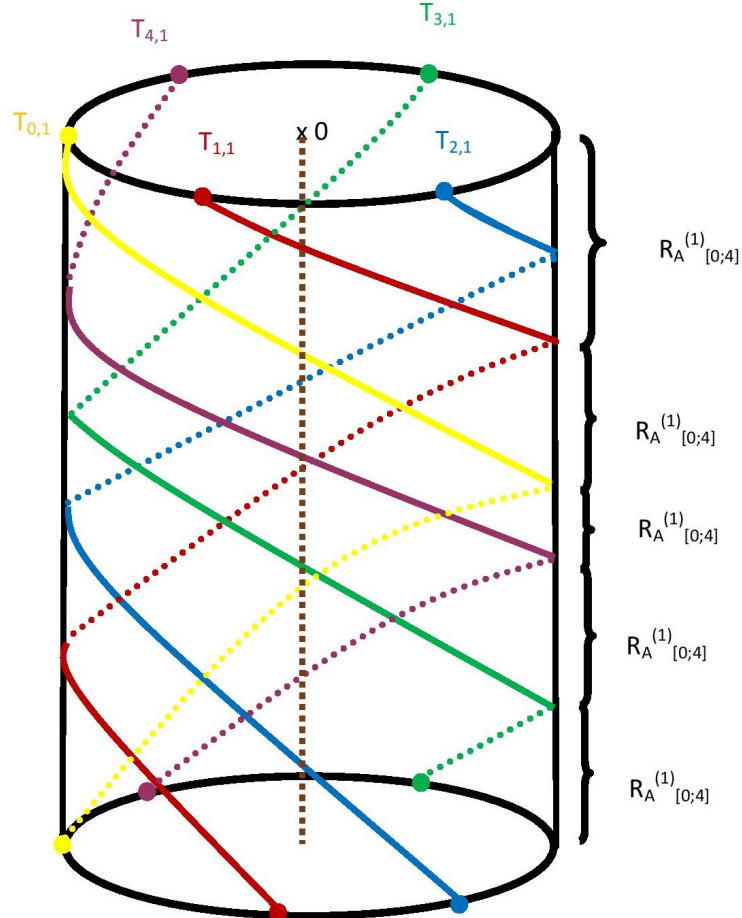


FIGURE 5 – Rotation $(R_{A_{[0;4]}^{(1)}})^5$.

(C) Maintenant, nous examinons la monodromie de tresses induite par le mouvement de $t = -\epsilon\mathbf{i}$ au point de coïncidence,

$$p_{m-k} = \mathbf{i} \tan\left(\frac{m-k}{m}\right) = -\mathbf{i} \tan\left(\frac{k}{m}\right), \quad k \in [1; r+1] \quad (3.35)$$

avec

$$r := \lfloor \frac{m-1}{2} \rfloor.$$

Le mouvement qui part de $t = -\epsilon\mathbf{i}$ et arrive à $t = \epsilon\mathbf{i} + p_{m-1}$, en suivant au début une droite, ensuite un tour sur le cercle $p_{m-1} + \epsilon e(u)$, $u \in [0; 1]$, induit la rotation

$$(R_{A_{[-1]}^{(0,1)}})^2 = \prod_{j=0}^{m-1} (R_{A_{j,j-1}^{(0,1)}})^2, \quad (3.36)$$

puisque'au point $t = p_{m-1}$, les deux poinçons de $A_{j,j-1}^{(1)}$ (3.18) se rencontrent.

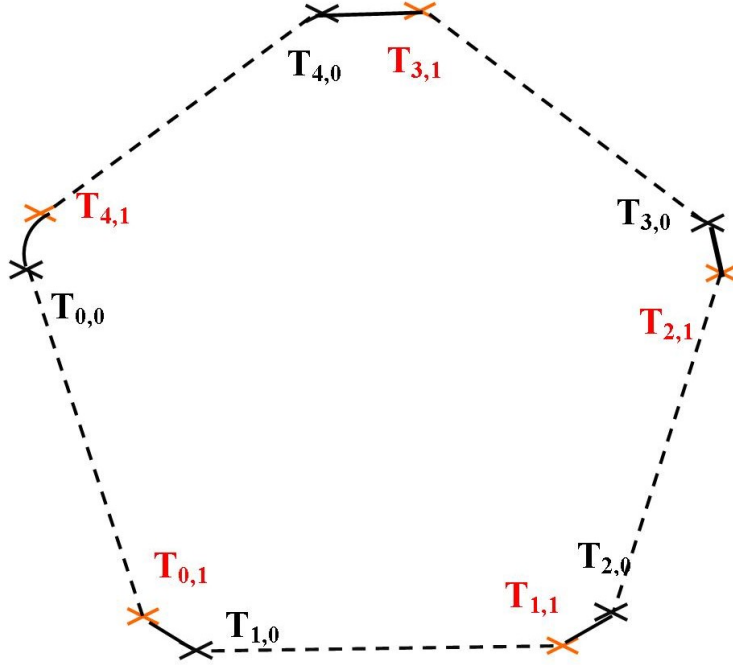


FIGURE 6 - $\mathbb{S}(\epsilon\mathbf{i} + p_{m-1})$, $m = 5$.

De la figure 6, on voit que les rotations $R_{A_{j,j-1}^{(0,1)}}$, $j \in [1; m-1]$, commutent entre elles.

Pour examiner la monodromie provoquée en $t = p_{m-k}$, $k \in [2; r+1]$, il faut considérer les demi-tours au sens, d'abord positif et au retour ensuite négatif, près des points $t = p_{m-\ell}$, $\ell \in [1; k-1]$ comme on le voit dans la figure 1, où l'on a omis le mouvement de retour.

En $t = p_{m-\ell}$, $\ell \in [1; k-1]$, lors du demi-tour en sens positif $p_{m-\ell} + \epsilon e(u)$, $u \in [0; 1/2]$, les racines $\mathbb{S}^*(t)$ (3.2) subissent la rotation $R_{A_{[-\ell]}^{(0,1)}}$ (3.21).

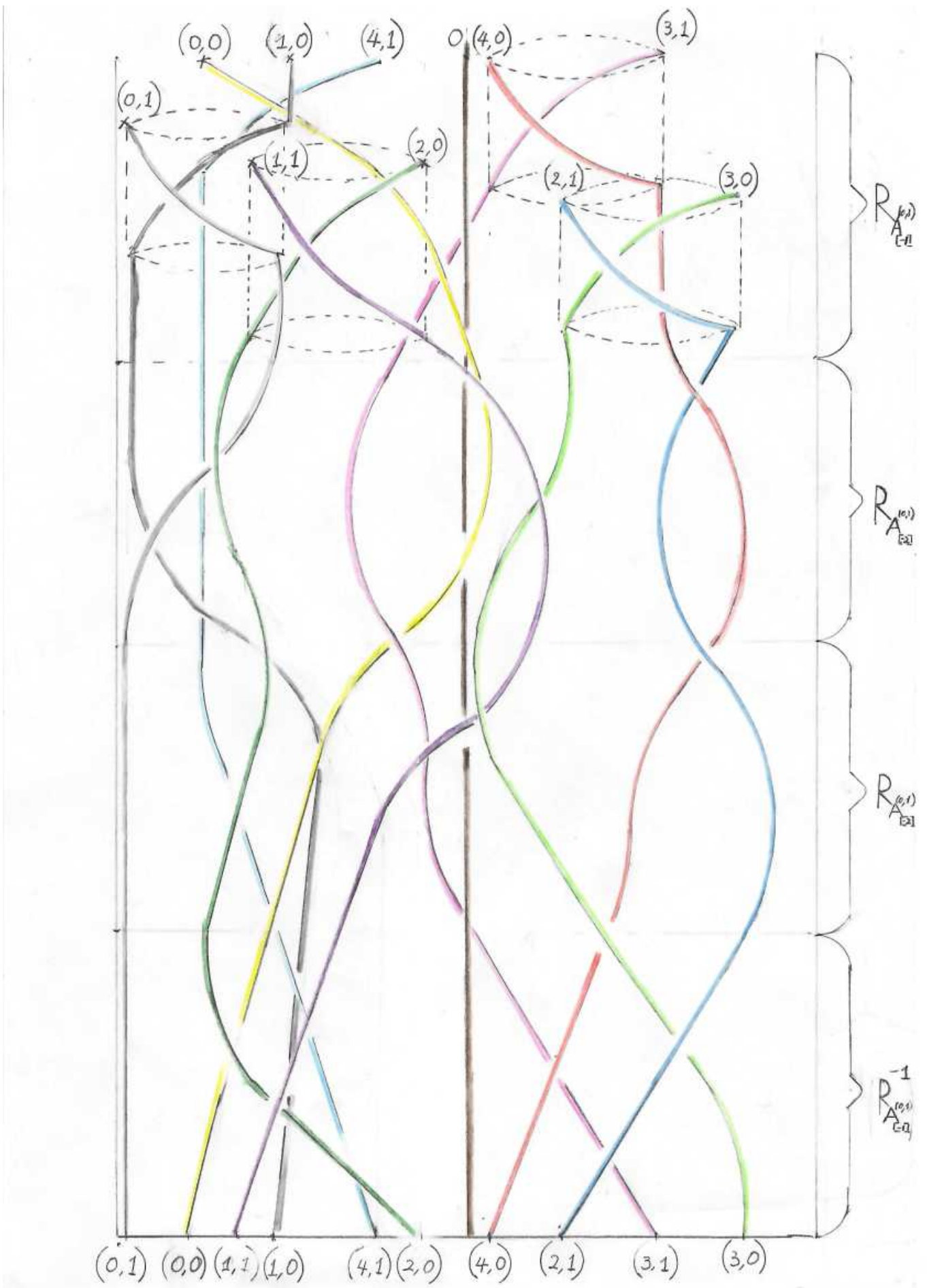


FIGURE 7 - $R_{A_{[-1]}^{(0,1)}} \cdot (R_{A_{[-2]}^{(0,1)}})^2 \cdot R_{A_{[-1]}^{(0,1)}}^{-1}$ pour $m = 5$.

Le détour positif de tous les points $t = p_{m-\ell}, \ell \in [1; k-1]$ donne naissance à la composition $R_{A_{-[1;k-1]}^{(0,1)}}$ (3.22).

Le tour complet autour de $t = p_{m-k}$ (3.22) produit la rotation

$$(R_{A_{[-k]}^{(0,1)}})^2 = \prod_{j=0}^{m-1} (R_{A_{j,j-k}^{(0,1)}})^2, \quad (3.37)$$

en vertu de la définition (3.21) appliquée au cas $\ell = k$.

Le détour négatif de tous les points $t = p_{m-\ell}, \ell \in [1; k-1]$, induit $R_{A_{-[1;k-1]}^{(0,1)}}^{-1}$.

Ainsi le lacet du point base $t = -\epsilon \mathbf{i}$ qui fait un tour positif autour de $t = p_{m-k}$, suivant le chemin de la figure 1, provoque la monodromie de tresses

$$R_{A_{-[1;k-1]}^{(0,1)}} \cdot (R_{A_{[-k]}^{(0,1)}})^2 \cdot R_{A_{-[1;k-1]}^{(0,1)}}^{-1}. \quad (3.38)$$

La figure 7 montre que la rotation (3.38) est isotope à la rotation $(R_{A_{[-k]}^{(0,1)}})^2$ pour le cas $k = 2$.

De manière inductive, on montre la réduction de (3.38) à (3.25) pour k général. L'argument s'appuie sur l'observation suivante. Lors de la rotation (3.38), les brins $T_{j-h,\delta}, (h, \delta) \in [1; k-1] \times [0; 1]$, restent devant ou derrière les brins $A_{j,j-k}^{(0,1)}$ (3.18) pour chaque $j \in [0; m-1]$. C'est-à-dire, dans (3.38) la tresse $R_{A_{j,j-k}^{(0,1)}}$ n'est pas conjuguée avec des tresses affectées par $T_{j-h,\delta}, (h, \delta) \in [1; k-1] \times [0; 1]$. Les autres brins $T_{j-\ell,\delta}, (\ell, \delta) \in [k+1; m-1] \times [0; 1]$, se trouvent aussi éloignés des brins $T_{j-h,\delta}, (h, \delta) \in [0; k] \times [0; 1]$, qu'elles ne s'entrelacent avec les dernières. En se servant de la notation répandue de [10], nous pourrions résumer cette relation par la formule

$$\sigma_i(\sigma_j)^2(\sigma_i)^{-1} = (\sigma_j)^2, \quad |i-j| \neq 1, 2m-1,$$

pour $\sigma_i, \sigma_j \in CB_{2m}$.

En s'appuyant sur un argument similaire, on peut aussi réduire (3.33) à la rotation $(R_{A_{[0;m-1]}^{(0)}})^m$.

Quant à la monodromie de tresses provoquée par le tour complet autour du point $t = p_k, k \in [1; r]$, sa description est parallèle à celle pour les cas $k \in [r+1; m-1]$ donnée dans (3.38).

La rotation $\rho(\mu_{1/2}^+ \cdot \vec{\mu}_{2/2}^+)$ (3.30) provoquée par le demi-tour autour de l'origine est suivie des rotations induites par les demi-tours $R_{A_{[+\ell]}^{(0,1)}}$ (3.19) autour les points $t = p_\ell, \ell \in [1; k-1]$, dont la composition s'écrit comme $R_{A_{[1;k-1]}^{(0,1)}}$ (3.20).

Le tour complet autour de $t = p_k$, (3.19) produit la rotation

$$(R_{A_{[+k]}^{(0,1)}})^2 = \prod_{j=0}^{m-1} (R_{A_{j,j+k}^{(0,1)}})^2. \quad (3.39)$$

Ainsi le lacet du point base $t = -\epsilon \mathbf{i}$ qui fait un tour positif autour de $t = p_k, k \in [1; r]$ suivant le chemin de la figure 1, provoque la monodromie de tresses

$$R_{A_{[0;k-1]}^{(0,1)}} \cdot (R_{A_{[+k]}^{(0,1)}})^2 \cdot R_{A_{[0;k-1]}^{(0,1)}}^{-1}. \quad (3.40)$$

pour $k \in [1; r]$.

Pour voir que la rotation

$$(R_{A_{[0]}^{(0,1)}}) \cdot (R_{A_{[+k]}^{(0,1)}})^2 \cdot (R_{A_{[0]}^{(0,1)}})^{-1}. \quad (3.41)$$

est isotope à (3.26), on a recours à l'examen qui est similaire à la réduction de (3.38) à (3.25).

Les figures 8, 9 illustrent le fait que la rotation $(R_{A_{[0]}^{(0,1)}}) \cdot (R_{A_{[+k]}^{(0,1)}})^2 \cdot (R_{A_{[0]}^{(0,1)}})^{-1}$ est isotope à $(R_{A_{[+k]}^{(0,1)}})^2$ pour $k = 1$.

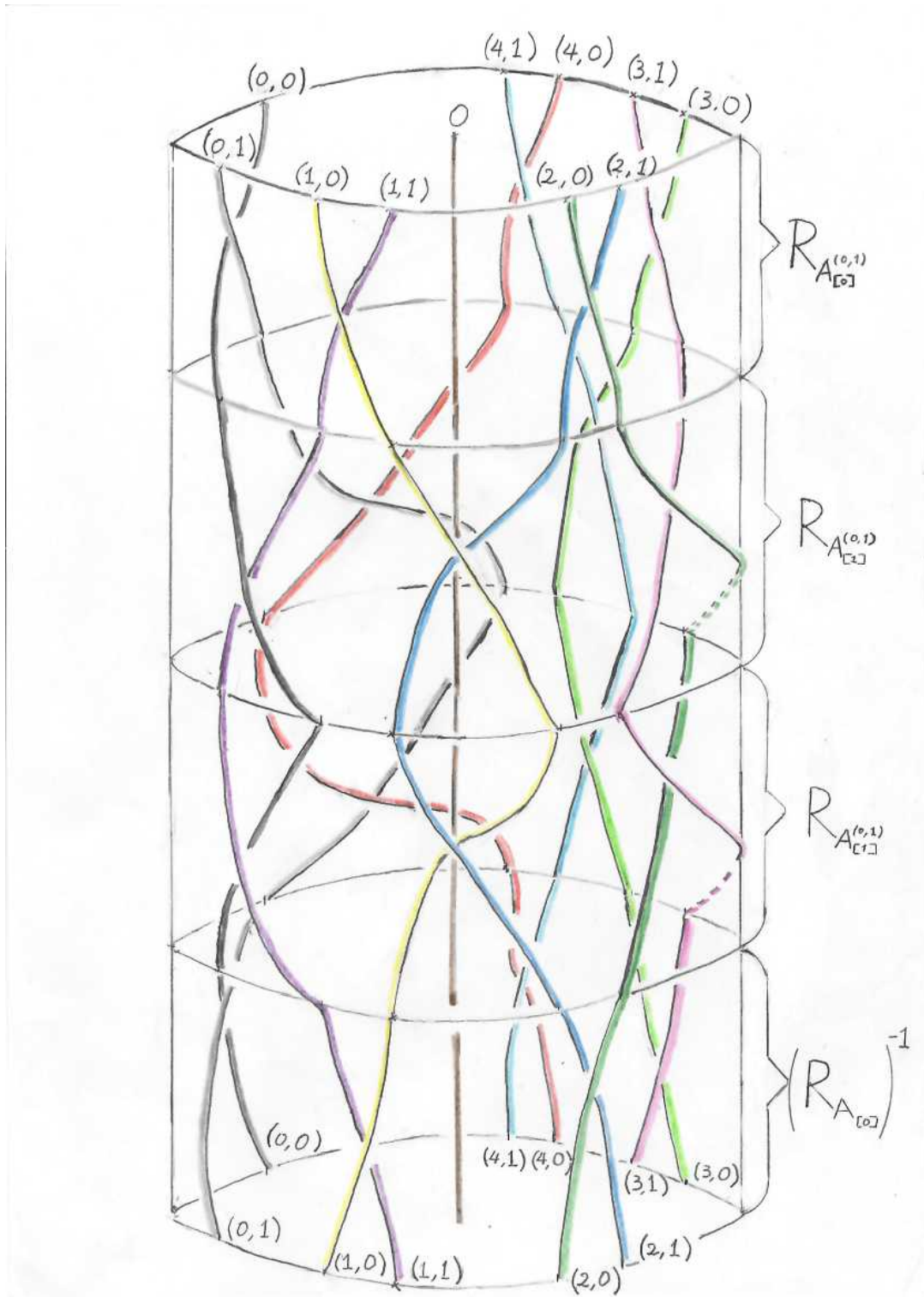


FIGURE 8 – Rotation $(R_{A_{[0]}^{(0,1)}}) \cdot (R_{A_{[1]}^{(0,1)}})^2 \cdot (R_{A_{[0]}^{(0,1)}})^{-1}$ pour $m = 5$.

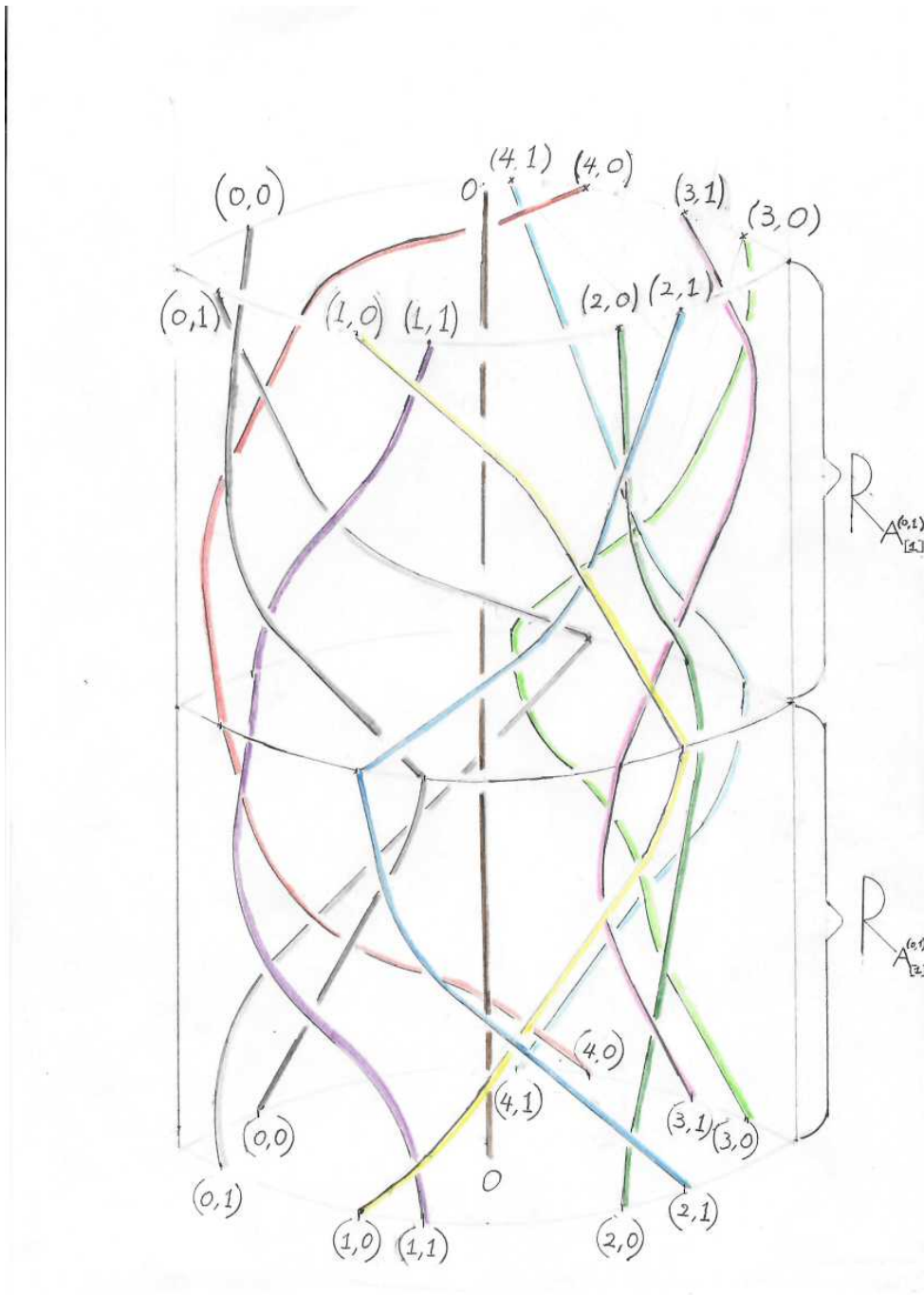


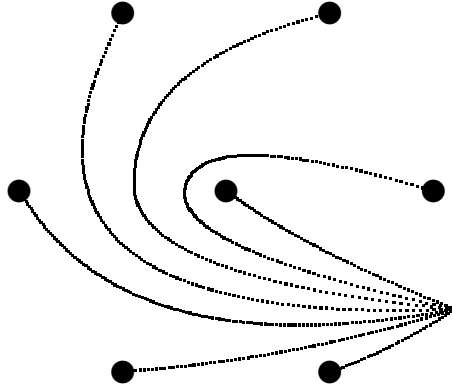
FIGURE 9 – Rotation $(R_{A_{[1]}^{(0,1)}})^2$ pour $m = 5$.

□

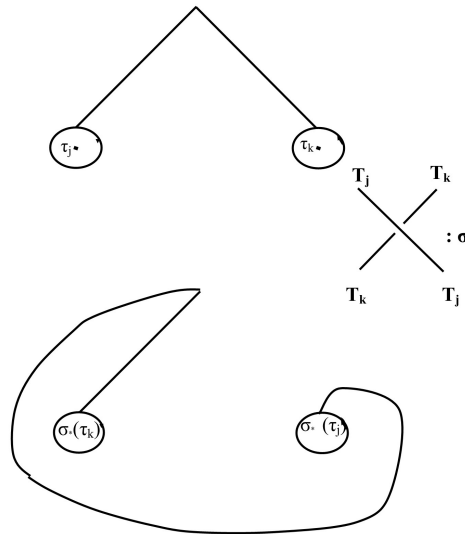
Pour établir une description du groupe fondamental $\pi_1(\mathbb{C}^2 \setminus \mathcal{A}_{m,2})$, nous considérons les lacets

$$T = \langle \tau_{j,0}, \tau_{j,1} \rangle_{j=0}^{m-1} \cup \{\tau_0\} \quad (3.42)$$

qui forment un système des chemins distingués [6, Definition 2], [8, Definition 1.2.3], [11, Definition 1.2] de $\mathcal{S}(-\epsilon \mathbf{i})$. Le lacet $\tau_{j,\delta}$, partant d'un point fixe, fait un tour positif autour du poinçon $T_{j,\delta}(-\epsilon \mathbf{i})$, $(j, \delta) \in [0; m-1] \times [0; 1]$.

FIGURE 10 – Chemins distingués pour $m = 3$.

Considérons maintenant l'action de la transformation monodromique ρ sur les lacets $\tau_{j,\delta}$ $\rho_*(\tau_{j,\delta})$.

FIGURE 11 – Action de la tresse σ sur les lacets $\tau_j, \tau_\ell : \sigma_*(\tau_j) = \tau_j \tau_\ell \tau_j^{-1}$.

Nous pouvons, alors, déduire le corollaire suivant du théorème 3.7.

Corollaire 3.8. *On a la description suivante du groupe fondamental du complément de l'arrangement $\mathcal{A}_{m,2}$ en termes des générateurs T (3.42),*

$$\pi_1(\mathbb{C}^2 \setminus \mathcal{A}_{m,2}) = \{T; \tau_{j,\delta} = \rho_*(\tau_{j,\delta}), (j, \delta) \in [0; m-1] \times [0; 1]\}. \quad (3.43)$$

Ici ρ est le difféomorphisme de $\mathbb{S}^*(-\epsilon\mathbf{i})$ induit par une des rotations (3.23), (3.24), (3.25), (3.26) de la liste du théorème 3.7.

La démonstration n'est qu'une application directe du lemma 1.14 de [11] (théorème de Zariski–Van Kampen) à notre situation.

En conclusion, nous proposons la conjecture suivante vu la régularité que l'on observe dans l'expression des rotations (3.23), (3.24), (3.25), (3.26). Notamment, le théorème 3.7 implique que la monodromie globale pour l'arrangement $\mathcal{A}_{m,2}$ est complètement déterminée par la monodromie locale.

Pour formuler la conjecture, nous introduisons quelques notations plus générales que celles du cas $n = 2$.

Soient les racines $s(t)$ de (2.8),

$$T_{\mathbf{k}_\alpha}(t) = -\omega_m^{j_\alpha}(1 + \omega_n^{\ell_\alpha}t) \quad (3.44)$$

pour $\mathbf{k}_\alpha = (j_\alpha, \ell_\alpha) \in [0; m-1] \times [0; n-1]$. On note l'ensemble des points de coïncidence $\mathbb{D}_{m,n}$ avec

$$\mathbb{D}_{m,n} = \{t \in \mathbb{C}; T_{\mathbf{k}_\alpha}(t) = T_{\mathbf{k}_\beta}(t), \exists \mathbf{k}_\alpha \neq \mathbf{k}_\beta \in [0; m-1] \times [0; n-1]\}. \quad (3.45)$$

Pour $\xi \in \mathbb{D}_{m,n}$ fixe, on définit les ensembles d'indices $\{\Lambda_\mu(\xi)\}_{\mu=1}^{\nu_\xi}$ tels que

$$T_{\mathbf{k}_\alpha}(\xi) = T_{\mathbf{k}_\beta}(\xi), \forall \mathbf{k}_\alpha \neq \mathbf{k}_\beta \in \Lambda_\mu(\xi) \subset [0; m-1] \times [0; n-1] \quad (3.46)$$

pour $\mu \in [1; \nu_\xi]$. Ici on suppose que $T_{\mathbf{k}}(\xi) \neq T_{\mathbf{h}}(\xi)$, $\forall \mathbf{k} \in \Lambda_\mu(\xi)$, $\forall \mathbf{h} \notin \Lambda_\mu(\xi)$ pour chaque $\mu \in [1; \nu_\xi]$. Dans l'ensemble $\Lambda_\mu(\xi)$, les poinçons sont rangés selon l'ordre de croissance de l'argument comme dans la définition 3.3.

Le résultat principal de [12] sera basé sur l'énoncé de la conjecture 3.9 ou sur une description analogue du groupe de monodromie globale.

Conjecture 3.9. Le groupe de transformations monodromiques globales pour l'arrangement $\mathcal{A}_{m,n}$, $n \geq 2$, est complètement déterminé par ses monodromies locales des fonctions linéaires (3.44).

Autrement dit, lorsque le paramètre t varie le long d'un lacet issu d'un point $p \in \mathbb{C} \setminus \mathbb{D}_{m,n}$ qui fait le tour autour de ξ et pas d'autres points de $\mathbb{D}_{m,n}$ (3.45), les poinçons $\{T_{\mathbf{k}}(t)\}_{\mathbf{k} \in \Lambda_\mu(\xi)}$, $\mu \in [1; \nu_\xi]$, (3.46) subissent la transformation monodromique

$$(R_{A_\mu(\xi)})^{|\Lambda_\mu(\xi)|}.$$

En particulier, on remarque que

$$|\Lambda_1(0)| = \cdots = |\Lambda_m(0)| = n$$

$$\forall (m, n) \in (\mathbb{Z}_{\geq 2})^2.$$

Références

- [1] V.V.BATYREV, *Dual polyhedra and mirror symmetry for Calabi-Yau hypersurfaces in toric varieties*, J.Algebraic Geometry **3**, (1994), 493-535.
- [2] P.BERGLUND, PH.CANDELAS, X.DE LA OSSA, A.FONT, T.HÜBSCH, D.JANCIC, F.QUEVEDO *Periods for Calabi-Yau variety and Landau-Ginzburg vacua*, Nuclear Physics **B 419**, (1994), pp.352-403.
- [3] R. BROWN, *From groups to groupoids : a brief survey*, Bull. London Math. Soc. **19** (1987), 113-134.
- [4] D. COX, S.KATZ, *Mirror symmetry and Algebraic Geometry*, Math Surveys and Monographs, Vol. 68, AMS, RI Providence, 1999.

- [5] A.FATHI, F. LAUDENBACH, V. POÉNARU, *Travaux de Thurston sur les surfaces*, Astérisque **66** (1979).
- [6] A.M.GABRIELOV, *Intersection matrices for some singularities*, *Funct. Anal. Appl.*, 7;3 (1973), 182–193.
- [7] A. GROTHENDIECK, *Esquisse d'un programme*, *Geometric Galois actions. 1.* Leila Schneps and Pierre Lochak, eds. (1997). Vol. 242. LMS Lecture Note Series .
- [8] S.M.GUSEIN-ZADE, *The monodromy groups of isolated singularities of hypersurfaces*, *Russian Math. Surveys*, 32 :2 (1977), 23–69.
- [9] R.P.HORJA, *Hypergeometric Functions and Mirror Symmetry in Toric Varieties*, math.AG/9912109.
- [10] R. P. KENT, D. PEIFER, *A geometric and algebraic description of annular braid groups*, *Int. J. Algebra Compt.* **12**, (2002), 85-97.
- [11] M.LÖNNE, *Braid monodromy of hypersurface singularities*, Habilitationsschrift, Universität Hannover, 2003.
- [12] M.LÖNNE, S.TANABÉ, *On discriminant loci of a family of bidegree (m,n) affine hypersurfaces*, en préparation.
- [13] D.MARGALIT, J.MCCAMMOND, *Geometric representations for the pure braid group*, *J. of Knot Theory and Its ramifications*, vol. 13(1), 2009, 1-20.
- [14] S. YU. OREVKOV, *The fundamental group of the complement of a plane algebraic curve*, *Mat. Sb. (N.S.)*, **137(179)** (1988), 260-270.
- [15] E. PAUL, J.P. RAMIS, *Dynamics on Wild Character Varieties*, *SIGMA* 11 (2015), 068, 21 pages.
- [16] J.STIENSTRA, *GKZ hypergeometric structures*, *Arithmetic and Geometry around Hypergeometric Functions (Istanbul, 2005)*, pp.313-372, Birkhäuser, Basel, 2007.
- [17] S. TANABÉ, *On Horn-Kapranov uniformisation of the discriminantal loci*, *Advanced Studies in Pure Mathematics.* **46**, (2007),pp. 223-249.
- [18] S. TANABÉ, *On monodromy representation of period integrals associated to an algebraic curve with bi-degree $(2, 2)$* , *Analele Ştiinţifice ale Universităţii Constanţa, Seria Matematica*, vol. 25(1), (2017), pp. 207-231.
- [19] S. TANABÉ, *Monodromy of period integrals associated to hypersurfaces in toric variety via Mellin-Barnes integrals*, en préparation.
- [20] S. TANABÉ, M.KOÇAR, *Braid monodromy for trinomial algebraic equation in terms of Pochhammer hypergeometric functions*, en préparation.
- [21] T. TERASOMA, *Fundamental group of non-singular locus of Lauricella F_C* , arXiv :1803.06609.
- [22] H. ZIESCHANG, E.VOGT, H.-D. COLDEWEY, *Surfaces and planar discontinuous groups*, *Lecture Notes in Math.* **835** (1980).

Moscow Institute of Physics and Technology
(National Research University)
Department of Discrete Mathematics,
Dolgoprudny, Moscow Region, Russian Federation
E-mail : tanabesusumu@hotmail.com,
tanabe.s@mipt.ru